

АКАДЕМИЯ НАУК СОЮЗА ССР
ГОСУДАРСТВЕННЫЙ КОМИТЕТ
ПО ИСПОЛЬЗОВАНИЮ
АТОМНОЙ ЭНЕРГИИ СССР

АТОМНАЯ
ЭНЕРГИЯ

Ежемесячный журнал
год издания двенадцатый

АТОМИЗДАТ ■ МОСКВА ■ 1968

Том 24 ■ Май ■ Вып. 5

РЕДАКЦИОННАЯ КОЛЛЕГИЯ:

А. И. АЛИХАНОВ, А. А. БОЧВАР, А. П. ВИНОГРАДОВ, И. А. ВЛАСОВ (зам. главного редактора), И. Н. ГОЛОВИН, И. А. ДОЛЛЕЖАЛЬ, А. П. ЗЕФИРОВ, В. Ф. КАЛИНИН, И. А. КОЛОГОЛЬЦОВ (зам. главного редактора), А. К. КРАСИН, А. И. ЛЕЙПУНСКИЙ, В. В. МАТВЕЕВ, М. Г. МЕЩЕРЯКОВ, М. Д. МИЛЛИОНИЦЫКОВ (главный редактор), П. Н. ПАЛЕЙ, Д. Л. СИМОНЕНКО, В. И. СМИРИНОВ, В. С. ФУРСОВ, В. Б. ШЕВЧЕНКО.

СОДЕРЖАНИЕ

СТАТЬИ

В. И. Баранов. Развитие радиогеологии в СССР	419
Я. Богач, П. Квиттиер, Э. Сабо. Определение некоторых примесей в кремнии высокой чистоты методом активационного анализа без разрушения образцов	421
Я. Боужик, Е. Кубовский, С. Ляйтэк. Измерение материального параметра критической сбorkи «Анна»	425
Н. Г. Баданина, Ю. П. Сайков. Критерий сравнения состояния твэлов активной зоны реактора	429
Ю. В. Чушкин, Е. Ф. Дацюков, В. Н. Сюзёв, Т. М. Гусева, В. В. Колесов, М. Д. Дерибизов. Радиационная стойкость пластинчатых твэлов реактора СМ-2	432
Б. Г. Егназаров, В. А. Зубко, А. И. Новиков. Выбор оптимальной аналитической методики при инструментальном активационном анализе	435
В. И. Субботин, Д. М. Овечкин, Д. Н. Сорокин, А. П. Кудринцев. Теплоотдача при кипении натрия в условиях свободной конвекции	437
В. П. Бобков, М. Х. Ибрагимов, В. И. Субботин. Расчет коэффициента турбулентного переноса тепла при течении жидкости в трубе	442
В. Я. Кудяков, М. В. Смирнов, Н. Я. Чукреев, Ю. В. Порохин. Образование двухвалентного титана в среде распыленного хлористого калия	448
И. М. Зуева, Л. С. Соловьев. Равновесие и устойчивость плазмы в аксиально симметричных тороидальных системах	453
ПЕРСОНАЛИЯ	
Исаак Константинович Кикоин (к 60-летию со дня рождения)	460
АННОТАЦИИ ДЕПОНИРОВАННЫХ СТАТЕЙ	
Н. Е. Брежнева, Ю. И. Кашанинов, С. Н. Озиранер. Изучение кинетики электролитического выделения гидроокисных осадков радиоземельных элементов	462

А. С. Тишечкин. Вычислительное устройство для обработки γ -спектров	462
В. Е. Дроzdov, Ю. С. Рябухин. К расчету мощностей пологлоссенных доз полого цилиндрического облучателя с неравномерным распределением активности	463
М. Задубан, Л. Медвидь. Определение суммарной β -активности долгоживущих продуктов деления при помощи K^{40}	464
Г. П. Березина, Я. Б. Файнберг, А. К. Березин. Экспериментальное исследование потоков быстрых ионов, образующихся в системе пучок — плазма	465

ПИСЬМА В РЕДАКЦИЮ

М. А. Сарычев, Ю. Н. Алексеенко, И. В. Звонов, В. И. Буйницкая, И. В. Рогожкин, А. А. Баталов, Ю. В. Александров. Распределение потока тепловых нейтронов в различных отражателях с каналами	467
Т. М. Гусева, Е. Ф. Дацюков, В. Н. Сюзёв, Ю. В. Чушкин. О возможном характере изменения объема тепловыделяющих композиций при твердом расщеплении	469
Е. М. Лобанов, Н. В. Зиновьев. Определение необходимой статистики при бескорреляционной расшифровке данных активационного анализа	471
С. Н. Вотинов, Т. М. Гусева, В. И. Клименков. О радиационной стойкости сплава циркония с 1% никобия в условиях работы реактора СМ-2	473
А. Э. Шемын-заде. О сухих выпадениях продуктов ядерных испытаний	474
К. П. Захарова, Г. М. Иванов, В. В. Кулничеко, Н. В. Крылова, Ю. В. Сорокин, М. И. Федорова. Об использовании тепла химических реакций для термической переработки жидких радиоактивных отходов	475

225381/и
1968
АТОМНАЯ
ЭНЕРГИЯ
ДОКУМЕНТАЦИЯ
МОСКОВСКАЯ
ГИБДД

вости стекол от потока тепловых нейтронов, времени обработки и концентрации НФ. Для увеличения чувствительности данного метода были изучены характеристики стекол, облученных с двумя слоями U^{235} , которые располагались по обе стороны стекла.

На рис. 2 приведены кривые зависимости матовости стекол M (в вольтах), облученных различными потоками тепловых нейтронов Φ_t , от времени обработки в 10%-ном растворе НФ. Аналогичные кривые были получены при обработке стекол в 0,1; 0,2 и 1,0%-ных растворах НФ. На основе их анализа были выбраны наилучшие режимы обработки стекол и определены пределы измерения потоков нейтронов.

Режимы обработки стекол и экспериментальные кривые зависимости матовости M от потока тепловых нейтронов приведены на рис. 3. Максимальная квадратичная ошибка измерений не превышала 10%.

Зависимость числа треков на 1 см^2 от потока тепловых нейтронов исследовали в диапазоне $5 \cdot 10^6 - 2 \cdot 10^8 \text{ нейтр./см}^2$. Облученные стекла обрабатывали в 10%-ном растворе НФ.

Число треков подсчитывали с помощью микроскопа типа БМИ-1. Среднее значение чувствительности стеклянных трековых детекторов составило $\sim 1,0 \cdot 10^{-3} \text{ треков/нейтрон}$ с ошибкой не более $\pm 3\%$.

Стеклянные трековые детекторы позволяют измерять интегральные потоки тепловых нейтронов по величине матовости в диапазоне $7 \cdot 10^6 - 5 \cdot 10^{11} \text{ нейтр./см}^2$.

Малая длительность измерения (несколько секунд) дает возможность использовать этот метод в индивидуальной дозиметрии и в некоторых физических экспериментах. Метод счета числа треков под микроскопом позволяет определять интегральные потоки нейтронов в диапазоне $3 \cdot 10^4 - 2 \cdot 10^8 \text{ нейтр./см}^2$. Использование микроскопов с матовым экраном при подсчете числа треков по данной методике практически исключает субъективные ошибки счета.

Поступило в Редакцию 3/VII 1967 г.

ЛИТЕРАТУРА

1. E. Sillk, R. Bargnes. Philos. Mag., 4, 970 (1959).
2. R. Fleisher et al. Phys. Rev., 133A, 1443 (1964).
3. В. П. Переягин и др. «Приборы и техника эксперимента», № 4, 78 (1964).
4. P. Price, R. Walker. Phys. Rev. Lett., 3, 113 (1962).
5. R. Fleisher et al. Rev. Sci. and Instrum., 37, 527 (1966).
6. J. Mory, R. Walker. 5th International Symposium Nuclear Track Photography. CERN, Geneva, 1964.
7. И. Брейдо. «Радио», № 7, 26 (1956).
8. K. Becke. Health Phys., 12, 769 (1966).

Энергетическая зависимость собственного разрешения кристаллов NaJ(Tl)

Е. П. МОХИР, Н. Г. КРАВЧЕНКО, Ю. А. ЦИРЛИН, В. А. СУЛЫГА

УДК 535.373.1:539.1.074.3

Известно [1], что амплитудное разрешение сцинтилляционного спектрометра R определяется собственным разрешением кристалла r и фотоумножителя, входящих в него:

$$R^2 = r^2 + \frac{A}{V}, \quad (1)$$

где A/V — квадрат собственного разрешения фотоумножителя; V — амплитуда импульса на выходе счетчика; A — константа, зависящая от чувствительности фотокатода ФЭУ. Эта формула справедлива для случая, когда применяется ФЭУ с малой неоднородностью фотокатода (не более 20%).

Поскольку в области энергий E падающего γ -излучения выше $\sim 200 \text{ кэВ}$ световой выход кристалла NaJ(Tl) пропорционален энергии с точностью до 5% [2], то формулу (1) можно записать в виде

$$R^2 = r^2 + \frac{A'}{E}. \quad (2)$$

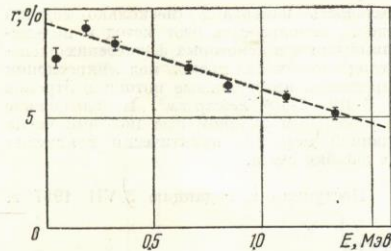
Величина r в первом приближении не зависит от E . Многочисленные работы (см., например, [3]) подтверждают такую зависимость $R(E)$ при всех значениях энергии падающего γ -излучения, за исключением области энергий выше 1000 кэВ. Оказывается, что r также является функцией энергии. В работах [4—6] предлагается зависимость

$$r = BE^{-1/4}, \quad (3)$$

однако величины коэффициента B , полученные в указанных работах, несколько различаются. Поскольку литературные данные относятся к единичным образ-

цам разных размеров, представляло интерес найти собственное разрешение большой группы кристаллов. Цель настоящей работы — изучение энергетической зависимости собственного разрешения монокристаллов NaJ(Tl) размером $40 \times 40 \text{ мм}$ и нахождение простой эмпирической зависимости $r(E)$ и $R(E)$. В измерениях использовались 12 кристаллов NaJ(Tl), изготовленных на различных предприятиях. Собственное разрешение рабочего образца определяли тремя способами: методом однородных нейтральных фильмов, методом равнояркостной вспышки и методом сравнения. Измерения проводились на установке, включающей в себя фотоэлектронный умножитель ФЭУ-13 и амплитудный анализатор АИ-100. Источниками γ -излучения служили изотопы Co^{60} ($1,33 \text{ МэВ}$), Zn^{65} ($1,11 \text{ МэВ}$), Mn^{54} ($0,84 \text{ МэВ}$), Cs^{137} ($0,662 \text{ МэВ}$), Cr^{51} ($0,32 \text{ МэВ}$), In^{114m} ($0,19 \text{ МэВ}$), Ce^{141} ($0,142 \text{ МэВ}$) и Pu^{239} ($0,051 \text{ МэВ}$). В качестве источника равнояркостных вспышек использовался тиатрон ТХ-4Б (электрическая схема этого источника света аналогична схеме, приведенной в работе [7]). Для выделения света с длиной волны, близкой к длине волны света сцинтиляций от кристалла NaJ(Tl), между фотокатодом и вспышкой помещался синий фильтр СС-5.

Для повышения точности результатов собственное разрешение кристалла измерялось не менее 10 раз. Оказалось, что при энергиях падающего излучения более 300 кэВ способ определения r не влияет (в пределах ошибки эксперимента $\pm 0,3\%$) на значение этой величины. При малых энергиях метод однородных нейтральных фильмов применять трудно. Он дает большие погрешности, и, вероятно, из-за этого вели-



Зависимость собственного разрешения r кристалла NaJ(Tl) от энергии E падающего γ -излучения:

— зависимость, полученная по формуле (4).

Число собственного разрешения, полученная этим способом, отличалась от величины, полученной двумя другими способами. Собственное разрешение остальных одиннадцати образцов определяли методом равнотрекостной вспышки и методом сравнения.

На рисунке приведена типичная зависимость собственного разрешения кристалла № 11 от энергии (размер кристалла 40 × 40 мм). Для большинства кристаллов (9 из 12) на кривой зависимости $r(E)$ наблюдается максимум в области энергий 200–300 кэВ.

Из формул (2) и (3) легко получить соотношение, позволяющее по известному разрешению датчика R_0 и собственному разрешению r_0 кристалла при облучении γ -квантами Cs¹³⁷ определить величину общего разрешения R при облучении γ -квантами любой энергии в диапазоне 300–1300 кэВ:

$$R = \sqrt{(2 + r_0 - 3,1E)^2 + (R_0^2 - r_0^2) \frac{E_0}{E}}, \quad (5)$$

где E_0 — энергия γ -квантов Cs¹³⁷, равная 662 кэВ.

В таблице приведены результаты сравнения экспериментально полученных значений собственного разрешения кристалла и общего разрешения датчика с величинами, вычисленными по формулам (4) и (5). Как видно из таблицы, очень редко расхождения между значениями превышают 0,6% (ошибка эксперимента), причем эти расхождения можно объяснить случайными ошибками измерений.

Было проведено сравнение величин общего и собственного разрешений, полученных по формулам (4) и (5), с экспериментальными данными работ [4, 6, 8–10]. Оказалось, что результаты этих работ можно описать предлагаемыми эмпирическими формулами с точностью 10%.

Поступило в Редакцию 24/VIII 1967 г.

Сравнение экспериментальных значений разрешения спектрометра $R_{\text{эксп}}$ и собственного разрешения кристалла $r_{\text{эксп}}$ со значениями, полученными по формулам (4) и (5)

Номер кристалла	Cr51 (0, 320 МэВ)				Mn54 (0, 840 МэВ)				Zn65 (1, 110 МэВ)				Co60 (1, 330 МэВ)			
	$R_{\text{эксп}}$	$R_{\text{выч}}$														
1	12,7	12,5	9,2	9,0	8,9	9,4	7,0	7,4	7,7	8,0	6,2	6,6	7,4	7,3	6,1	5,9
2	15,1	15,1	11,4	11,6	11,7	11,8	10,1	10,3	11,3	10,7	9,9	9,5	10,0	10,0	9,1	8,8
3	12,2	12,3	8,2	8,9	8,9	9,0	7,1	7,3	8,0	8,0	6,6	6,5	7,3	7,3	5,9	5,8
4	11,7	12,0	7,4	8,5	8,5	8,7	6,6	6,9	7,6	7,6	6,1	6,4	6,8	6,9	5,3	5,4
5	13,1	12,8	9,6	9,3	9,2	9,4	7,4	7,7	8,1	8,3	6,7	6,9	7,6	7,5	6,2	6,2
6	11,7	11,2	8,1	7,8	8,3	8,0	6,6	6,2	7,5	6,9	6,1	5,4	6,8	6,2	5,4	4,7
7	13,0	12,6	9,4	9,0	8,8	9,2	6,9	7,4	7,9	8,1	6,4	6,6	7,1	7,3	5,6	5,9
8	13,6	13,3	9,6	9,6	9,6	9,7	7,5	7,7	8,4	8,5	6,9	6,9	7,8	7,8	6,4	6,2
9	12,1	11,9	7,9	8,7	8,7	8,9	6,8	7,1	7,9	7,8	6,4	6,3	6,9	7,0	5,0	5,6
10	11,7	12,2	7,9	9,3	9,0	9,1	7,2	7,7	8,3	8,1	7,2	6,9	8,1	7,3	7,0	6,2
11	12,0	11,8	8,4	8,4	8,2	8,5	6,4	6,8	7,3	7,4	5,9	6,0	6,6	6,7	5,2	5,3
12	14,7	14,4	9,6	9,1	10,5	10,2	7,9	7,5	9,2	9,0	7,0	6,7	—	—	—	—

Примечание. Разрешение приведено в процентах.

При достаточно больших энергиях собственное разрешение кристалла существенно влияет на разрешение сцинтилляционного спектрометра. Поэтому для практических применений необходимо знать зависимость $r(E)$ для энергий выше ~300 кэВ, эмпирическая формула которой имеет вид

$$r = 2 + r_0 - 3,1E, \quad (4)$$

где r — собственное разрешение кристалла при облучении γ -квантами энергии E , %; r_0 — собственное разрешение кристалла при облучении γ -квантами Cs¹³⁷, %.

ЛИТЕРАТУРА

- В. О. Вяземский и др. Сцинтилляционный метод в радиометрии. М., Госатомиздат, 1961.
- D. Engelkemeir. Rev. Sci. Instrum., 27, 589 (1956).
- A. Bisi, L. Zappa. Nucl. Instrum. and Methods, 3, 17 (1958).
- G. Kelley et al. IRE Trans. Nucl. Sci., 3, No. 4, 57 (1956).

5. Ю. А. Немилов и др. «Изв. АН СССР. Серия физ.», XXIII, 257 (1959).
 6. J. Shape. IRE Trans. Nucl. Sci., 7, No. 2-3, 44 (1960).
 7. В. В. Матвеев, А. Д. Соколов. В сб. «Аппаратура для ядерной спектрометрии». М., Атомиздат, 1960, стр. 19.
 8. P. Thieberger et al. Nucl. Instrum and Methods, 14, 225 (1961).
 9. R. Hill. Proc. Phys. Soc., 85, 1068 (1965).
 10. G. Nagayau, J. Prescott. IEEE Trans. Nucl. Sci., 13, No. 3, 132 (1966).

Изучение радиационной стойкости окиси бериллия при температуре до 100° С

А. В. ХУДЯКОВ, И. А. МАРАКУЕВА, В. И. КЛИМЕНКОВ, Г. С. БАЛАНДИН

УДК 621.039.532.5:621.039.531

Окись бериллия является хорошим материалом для применения в реакторе в качестве замедлителя, отражателя или электроизолятора, однако ее использование ограничено из-за невысокой радиационной стойкости при низких температурах. Так, известно [1, 2], что при облучении интегральными потоками $(0,2 \div 1) \times 10^{21} \text{ нейтр./см}^2$ * (при температуре до 100° С) изделия из окиси бериллия разрушаются, превращаясь в порошок.

Исследование механизма разрушения показывает, что оно происходит в основном под действием внутренних напряжений, возникающих вследствие резко анизотропного роста кристаллов. Если линейное распухание поликристалла достигает 2–5%, то соотношение линейных расширений по двум главным кристаллографическим направлениям (*a* и *c*) равно 8–16. Несмотря на непреложную закономерность распухания, которое происходит в результате накопления радиационных дефектов, можно попытаться, опираясь на знание механизма разрушения, повысить стойкость окиси бериллия путем подбора ее свойств. Перспективным направлением в улучшении радиационной стойкости окиси бериллия считается уменьшение величины зерна и создание текстуры [1]. Однако и наиболее стойкие образцы [1, 2] выдерживают интегральные потоки не выше $(2 \div 3,5) \cdot 10^{21} \text{ нейтр./см}^2$.

В настоящей работе приводятся данные исследований микроструктуры различных образцов окиси бериллия, подвергшихся облучению потоком нейтронов до $4 \cdot 10^{21} \text{ нейтр./см}^2$. Многочисленные исследования (например, [1, 2]) показывают, что микростреккивание — самая характерная черта в поведении окиси бериллия при облучении, с которой связаны изменения почти всех физико-механических свойств. Так, с началом растреккивания резко увеличивается скорость распухания зерен и поликристалла в целом, снижаются теплопроводность, прочность и т. д. Поэтому наиболее наглядной и убедительной характеристикий послерадиационного состояния окиси бериллия является ее микроструктура.

Для радиационных испытаний были приготовлены различные образцы окиси бериллия (см. таблицу). Образцы имели весьма разнообразную форму и размеры: цилиндры с диаметром и длиной в пределах 15–60 мм и 20–250 мм соответственно, параллелепипеды 25 × 60 × 130 мм, кубики с ребром 8–10 мм и малые гагаринские образцы.

Образцы окиси бериллия облучали в реакторе СМ-2 при температуре ~100° С. После облучения на образцах по обычной технологии приготавливали

шлифы, которые просматривали при оптических увеличениях до 1000 раз.

Характеристики облучаемых образцов окиси бериллия

Номер партии	Материал	Способ формования изделий	Относительная плотность, %	Размер зерна, мк
I	BeO	Горячее литье	97	30–40
II	BeO + 0,25 вес.% Al ₂ O ₃	Холодное прессование	93,5	35
III	BeO + 0,5 вес.% Al ₂ O ₃	Горячее литье	93,5	35
IV	BeO	Горячее прессование	95,5–98,5	3–5
V	BeO + 3 вес.% Al ₂ O ₃ ; SiO ₂ ; CaO	Горячее литье	96	80–100

Экспериментальные результаты

Начало микростреккивания в крупнозернистых высокоплотных образцах из чистой окиси бериллия, изготовленных горячим литьем из парафинодержащих суспензий [3], наблюдалось при интегральном потоке $10^{20} \text{ нейтр./см}^2$. После облучения потоком $4 \times 10^{20} \text{ нейтр./см}^2$ образцы рассыпаются в порошок при слабых скжимающих напряжениях. На шлифах таких образцов (рис. 1, б) видна сплошная сетка микротреции. В крупнозернистых с пониженной плотностью образцах BeO + 0,25% Al₂O₃, изготовленных холодным прессованием с последующим спеканием [4], заметное растрекивание в основном по границам зерен обнаружено после облучения потоком выше $5 \cdot 10^{20} \text{ нейтр./см}^2$ (рис. 2, а). Поток $7 \cdot 10^{20} \text{ нейтр./см}^2$ сильно разупрочняет образцы (рис. 2, б), которые, однако, еще сохраняют свою форму. Полное разрушение происходит при потоке $10^{21} \text{ нейтр./см}^2$.

В образцах BeO + 0,5% Al₂O₃, исходные свойства которых аналогичны образцам BeO + 0,25% Al₂O₃,

* Здесь и далее интегральные потоки приводятся для нейтронов с энергией $E \geq 1$.